

## چکیده

مدل تنش کولمب بر اساس محاسبه آستانه شروع لغزش در سطوح گسلی تحت تنش با فرمول معیار گسیختگی کولمب و محاسبه تنش حاصل از جنبش بلوک‌های دو سوی یک گسیختگی سرچشمی بنا شده است. دستاوردهای این مدل برهم کنش زمین‌لرزه‌ها و پراکندگی مکانی پس‌لرزه‌ها را در بر می‌گیرد و با احتمالات زمین‌لرزه‌ای و تغییرات نرخ لرزه‌خیزی همخوانی زیادی دارد. بهنه گسلی دشت یاض در شمال بلوک لوت، به عنوان یک منطقه فعال زمین‌ساختی در شرق ایران شناخته شده است. بررسی تغییرات تنش کولمب نشان می‌دهد که زمین‌لرزه اصلی دشت یاض در سال ۱۹۶۸ بخش‌هایی از گسل رانده فردوس (زمین‌لرزه ۱۹۶۸ فردوس) و شرق گسل راستالغز چپ‌بر دشت یاض شرقی (زمین‌لرزه ۱۹۷۹ کولی-بنیاباد) را برانگیخته است اما بر روی گسل آوش (زلزله ۱۹۷۶ وندیک) بافت تنش و باربرداری همراه بوده است. شواهد زمین‌ریخت‌شناسی از جمله جایه جایی قافت‌ها، پهلهای باستانی تخریب شده، جایه جایی آبراهه‌ها و افزارهای فرسایش‌یافته نشان‌دهنده تجدید فعالیت این گسل در طی تاریخ می‌باشد. به نظر می‌رسد که علاوه بر امتداد گسل دشت یاض که طی زمین‌لرزه‌های ۱۹۶۸ فردوس و ۱۹۷۹ کولی-بنیاباد فعال شده‌اند، بخش‌های جنوبی گسل دشت یاض به سمت قائنات نیز از مناطق پر خطر در آینده باشد.

**واژگان کلیدی:** توالی زمین‌لرزه‌ها، اثرات برانگیختگی، تغییرات تنش کولمب، گسل دشت یاض، بلوک لوت.

## اثر تغییرات تنش کولمب ناشی از زمین‌لرزه ۳۱ اوت ۱۹۶۸ دشت بیاض در چکانش رخدادهای آتی

### سعید زارعی (نویسنده مسئول)

دانشجوی دکتری زمین‌شناسی تکتونیک، دانشگاه بیرجند  
zareisaeed@birjand.ac.ir

### محمد مهدی خطیب

استاد گروه زمین‌شناسی دانشگاه بیرجند

### مهندی زارع

استاد پژوهشکده زلزله‌شناسی، پژوهشگاه بین‌المللی زلزله‌شناسی و مهندسی زلزله

### سید مرتضی موسوی

استادیار گروه زمین‌شناسی دانشگاه بیرجند

## ۱- مقدمه

سامانه گسلی برآورده شده است. به نظر می‌رسد خاور ایران تحت تأثیر سامانه گسل امتدادلغز هم‌زمان با چرخش حول محور قائم و با فعالیت گسل‌های جدید تغییر کرده است [۱].

ناحیه دشت یاض چندین زمین‌لرزه بزرگ قرن یستم و فعالیت‌های تاریخی فراوان را تحمل کرده است که این زمین‌لرزه‌های ویرانگر در مجاورت تغییر شکل فعال در ناحیه دشت یاض گستردگی دارد.

در سال‌های اخیر، محققین به منظور درک زمین‌ساخت فعال خاور ایران به بیان الگوهای دگرشکلی جوان پوسته پرداخته‌اند که بررسی آنها به فهم سازوکار ایجاد زمین‌لرزه‌های مختلف در این منطقه کمک می‌کند. در الگوی چرخش گسل‌های

زلزله یکی از ویرانگرترین پدیده‌های طبیعی به شمار می‌آید و خسارات جانی و مالی و آسیب‌های حاصل از این پدیده بسیار زیاد است. زلزله‌ها در اثر اعمال مداوم تنش ناشی از حرکت صفحه‌های تکتونیکی به وجود می‌آیند.

پهنه لوت، با درازای حدود ۹۰۰ کیلومتر، خاوری‌ترین بخش خود قاره ایران مرکزی است و از زلزله‌خیزترین پهنه‌های فلات ایران به شمار می‌رود. مرز خاوری این پهنه با گسل نهیندان و حوضه فلیشی خاور ایران و مرز باختری آن با گسل ناییند و بلوک طبس مشخص می‌شود.

با بررسی گسل‌ش فعال در ناحیه دشت یاض به عنوان بخشی از بلوک لوت، نرخ لغزش بیش از ۲/۵ میلی‌متر در سال برای این

بررسی محدوده‌ی مورد مطالعه‌ی خود پرداخته و نتایج آنها می‌تواند کمک خوبی به درک این مفهوم از زمین‌شناسی ساختاری نماید. از آن جمله می‌توان به مطالعات سرکاری نژاد و انصاری [۸] بر روی زلزله رودبار، پاپادیمیریو [۹] بر روی زلزله‌های بزرگ در جزایر آیونیان یونان که نشان داد از ۱۴ زلزله با بزرگای بزرگ‌تر از  $6/3$ ،  $13$  مورد در محل‌هایی رخ داده است که تنش کولمب به وسیله زمین‌لرزه قبلی افزایش یافته بود. ملکی و حمزه‌لو [۱۰] در شرق ایران نشان دادند که توزیع مکانی پس‌لرزه‌های ناشی از زمین‌لرزه‌های  $20$  دسامبر  $2010$  و  $27$  زانویه  $2011$  ریگان همبستگی خوبی با تغییرات تنش کولمب ایجاد شده توسط این رخدادها دارد. سرخوندی و همکاران [۱۱] مطالعه تأثیر تغییرات تنش کولمب بر مدل‌های وابسته به زمان در شرق ایران، استین بر روی گسل سن اندریاس [۴] و آناتولی [۱۲] و مطالعات مک‌کلوسکی و همکاران [۷] بر روی زلزله‌های اندونزی اشاره نمود. این مطالعه اهمیت تلفیقی اطلاعات لرزه‌شناسی برای زلزله‌های بزرگ رخ داده روی گسل‌های در حال گسترش و مطالعه زمین‌ریخت‌شناسی سطحی گسل‌ها را مشخص می‌کند. اطلاعاتی مانند استفاده از عکس‌های هوایی و ماهواره‌ای دقیق‌تر و اطلاعات عمقی گسل در مطالعات تکونیک فعال و ارزیابی خطر لرزه‌ای گسل کمک می‌کند. این موارد می‌تواند با مطالعات دیرینه لرزه‌شناسی دقیق مورد ارزیابی قرار گیرند.

## ۲- زمین‌ساخت و لرزه‌خیزی منطقه مورد مطالعه

دگرشكلي در ايران در نتيجه همگرايی صفحات عربی- اوراسيا بوده که احتمالاً از  $35$  ميليون سال قبل شروع شده است [۱۳]. دگرشكلي حاصل از اين برخورد، يكى از بزرگ‌ترین دگرشكلي‌های همگرا در پوسته زمین است که خاور ترکيه تا خاور ايران را در بر گرفته و ميزان کوتاه‌شدگى  $40$  ميلى متر در سال (تا طول  $60$  درجه خاوری) بر ايران تحمل می‌کند [۱۴-۱۸]. منطقه مورد مطالعه در زون گسلی دشت بياض واقع شده است.

راستالغز و راندگی‌های پایانه‌ای آنها در پهنه‌ی همگراي مایل، بردارهای لغزشی بر روی گسل‌های راندگی و راستالغز برابر نیستند و بلوک‌های در حال چرخش صلب نبوده و دگرشكلي درونی دارند. در این صورت اتصال بین دو سازوکار راستالغز و راندگی با چرخش راندگی‌های پایانه‌ای امکان‌پذیر می‌شود. در توالي زمین‌لرزه‌های ۱۹۶۸ دشت بياض و فردوس، چرخش ساعت گرد حول محور قائم در گسل راستالغز چپ بر دشت بياض مستلزم دگرشكلي درونی بلوک‌ها است زيرا بعد از زمین‌لرزه دشت بياض به فاصله زمانی حدود  $20$  ساعت، گسل راندگی فردوس در انتهای باختり گسل دشت بياض فعالیت می‌کند [۱]. در واقع ارتباط چنین گسل‌هایی به صورت همدرد می‌تواند موضوع چالش برانگيزی در تحلیل خطر زمین‌لرزه و پيش‌يابي زلزله در منطقه باشد.

بررسی تغییرات تنش کولمب برای تعیین شرایط برانگیختگی زمین‌لرزه‌ها روشی است که در سال‌های اخیر در مورد زمین‌لرزه‌های بزرگ بسیاری بکار رفته است [۸-۲]. در این نوشتار با استفاده از روش بررسی تغییرات تنش کولمب ناشی از زمین‌لرزه  $1968/31$  اوست دشت بياض به مطالعه امكان برانگیختگی زمین‌لرزه‌های رخداده پس از آن پرداخته خواهد شد. زمین‌لرزه‌ایی که در این مقاله مورد بررسی قرار می‌گيرند، زمین‌لرزه سال  $1968$  ميلادي فردوس، زمین‌لرزه  $1976$  قائن (آوش) و زمین‌لرزه سال  $1979$  ميلادي کولي-بنياباد روی ادامه خاوری گسل راستالغز چپ بر دشت بياض می‌باشد. از طرف دیگر يكى از ویژگی‌های ریخت‌زمین‌ساختی یعنی مهاجرت افزارهای گسلی در عرض پهنه‌ی برشی گسل امتدادلغز چپ بر دشت بياض در این منطقه مورد بررسی قرار گرفته است تا در نهايت بتوان علاوه بر نشان دادن اثر زمین‌لرزه‌ها بر يكديگر، تغییرات ایجاد شده در حریم گسل و مناطق پر خطر آتی نيز مورد ارزیابی قرار گيرد.

مطالعات جدیدی در اين زمينه در بخش‌های مختلف جهان انجام شده است که هر کدام با مطالعه‌ی تغییرات تنش کولمب به

یک گستنگی به طول ۸۰ کیلومتر که از طول جغرافیایی ۵۸ درجه و ۳۵ دقیقه در شرق زیقان تا طول ۵۹ درجه و ۲۵ دقیقه می‌باشد، را حاصل می‌کند و موجب خسارت ناحیه وسیعی در شرق ایران می‌شود [۲۷]. بیشینه جابه‌جایی افقی به میزان ۴/۵ متر و همچنین بیشینه جابه‌جایی قائم به میزان ۲/۵ متر بود. به‌طور میانگین میزان جابه‌جایی‌ها به میزان ۲ متر اندازه گیری شده بود. در شکل (۲) مقایسه‌ای از وضعیت سال‌های نزدیک به زمین‌لرزه و امروزه صورت گرفته است.

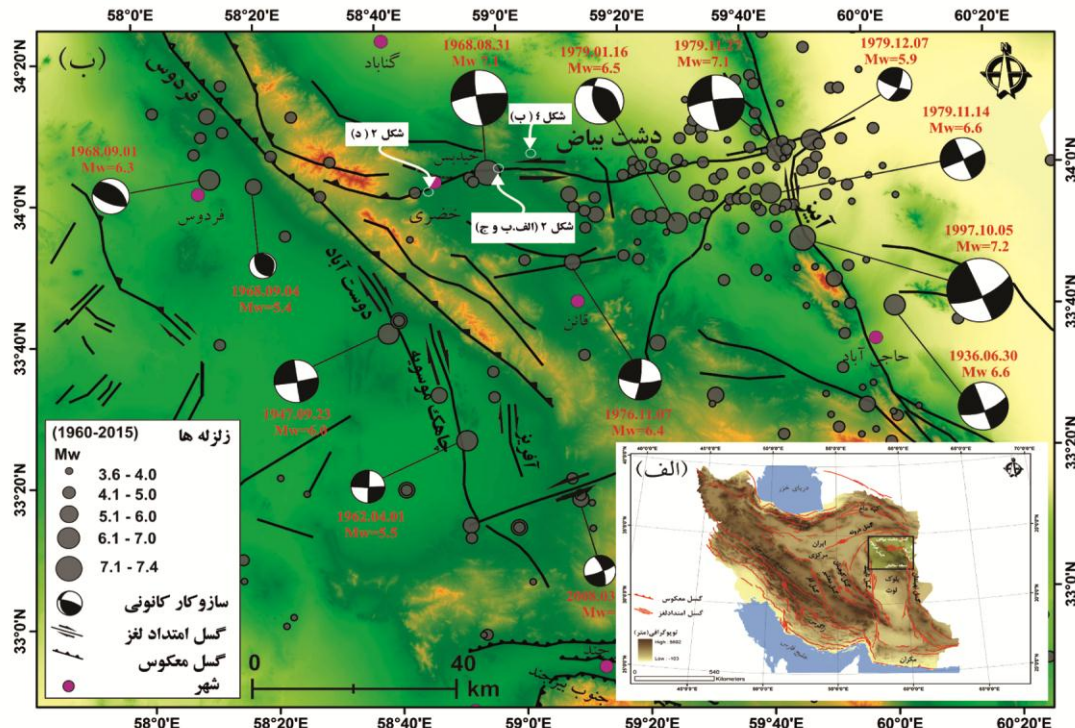
Jabeh-e-Jayi قنات‌ها نشان می‌دهد که زون گسلی زمین‌لرزه ۱۹۶۸ میلادی در طی تاریخ خود فعال بوده است. زلزله‌های سال ۱۲۳۸ و ۱۶۷۵ منطقه‌ی گناباد و همچنین زلزله‌های تاریخی اطراف قائن از نمونه زلزله‌های تاریخی اشاره شده در منابع می‌باشد (جدول شماره ۱). خطوط قات در مناطق مختلف بخش نیمبلوک زون گسلی را قطع می‌کند و جابه‌جایی افقی چپ بر را تا حدود ۵۰ متر نشان می‌دهند (شکل ۳).

این منطقه در شمال گسل‌های فعال راست بر زون سیستان (سامانه گسلش آبیز) قرار دارد که ممکن است مسبب ایجاد مقادیر بزرگی از برش راستبر در جریان همگرایی بین ایران و افغانستان باشند. چرخش ۲۰۰ کیلومتری در طول گسل دشت بیاض که نسبتاً سریع و به اندازه ۶ درجه در هر میلیون سال می‌باشد، و در انتهای شرقی با افغانستان پایدار اتصال دارد و می‌تواند با برش راستبر ۲۰ میلی‌متر در سال و شکستگی‌های زمین‌ساختی در ارتباط با آن توجیه شود [۲۱-۲۶].

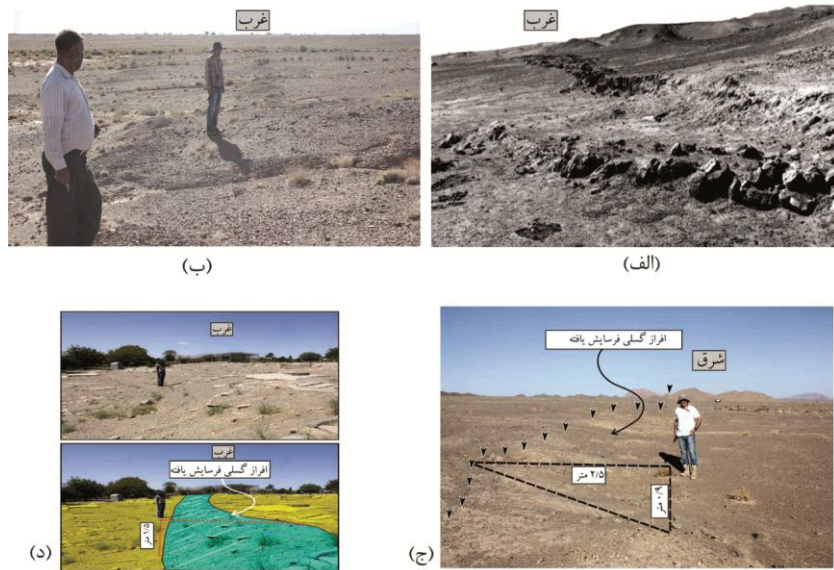
زلزله‌های تاریخی و دستگاهی گزارش شده برای منطقه دشت بیاض در شکل (۱) نشان داده شده و جزئیات آن به وسیله آمبرسیز و چالنکو در سال ۱۹۶۹ [۲۲]، آمبرسیز و ملویل در سال ۱۹۸۲ [۲۳]، بربریان و یتس در سال ۱۹۹۹ و ۲۰۰۱ [۲۴-۲۵] و بربریان و همکاران در سال ۱۹۹۹ [۲۶] مورد بررسی قرار گرفته است.

## ۱-۲- زلزله ۳۱ اوت ۱۹۶۸ دشت بیاض

این زلزله با بزرگی  $M_w = 7/1$  و ژرفای کانونی ۱۰ کیلومتر



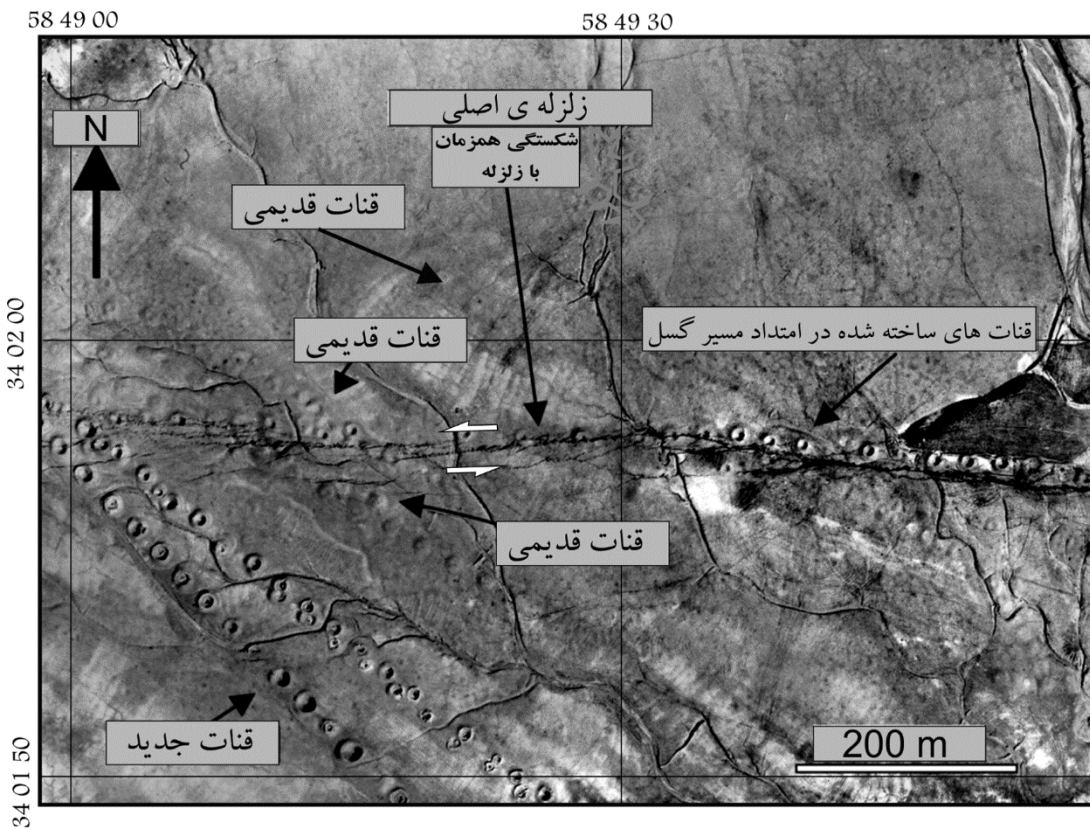
شکل (۱): (الف) نقشه پستی و بلندی‌های ایران که در آن بلوک‌های ساختاری نشان داده شده‌اند. کادر مشخص شده منطقه‌ی مطالعاتی (شکل ب) را نشان می‌دهد. ب) نقشه‌ی تکتونیکی محدوده‌ی مطالعاتی، توزیع رومکزی زمین‌لرزه‌های بزرگ (۲۰۱۵-۱۹۶۰) و سازوکار ژرفی (سیاه-سفید) برای دشت بیاض و منطقه زیرکوه. سازوکار ژرفی برگرفته از واکر و همکاران (۲۰۰۴) [۱] می‌باشد.



شکل (۲): (الف) گسیختگی سطحی مربوط به زلزله ۱۹۶۸ دشت بیاض. این تصویر چهار سال بعد از زلزله یعنی در سال ۱۹۷۲ گرفته شده که توسط چالکو و بربریان [۲۸] آراهه شده است. (ب) افزار گسلهای فرسایش یافته در روستای خیدبس (این تصویر ۴۵ سال بعد از تصویر الف و در نزدیکی همان منطقه برداشت شده است). منطقه خیدبس در شکل (۱) نشان داده شده و اموروزه خالی از سکنه می‌باشد. (ج) افزار فرسایش یافته‌ی گسل دشت بیاض با ۹۰ سانتی‌متر جابه‌جایی قائم در منطقه خیدبس با دید به سمت شرق. (د) جابه‌جایی قائم گسیختگی هم‌زمان با زلزله ۱۹۶۸ دشت بیاض به میزان ۱/۵ متر در قبرستان «حضرنی» بخش دشت بیاض (جانمایی تصاویر در شکل (۱) نشان داده شده است).

جدول (۱): تاریخچه‌ی لژه‌خیزی منطقه مورد مطالعه (۱) آمبرسیز و ملویل [۲۳]، (۲) بربریان و همکاران [۲۶]، (۳) بربریان و یتس [۲۴]، (۴) بربریان و یتس [۲۵]، (۵) واکر و همکاران [۲۷].

| تاریخ        | عرض   | طول   | Ms  | Mw  | گسل                                     | مرجع   |
|--------------|-------|-------|-----|-----|---|--------|
| ۱۰۶۶م        | -     | -     | ۶/۵ |     | بنز آباد یا پاوه                        | ۴      |
| تابستان ۱۲۳۸ | -     | -     |     |     | گتاباد/بیدخت؟                           | ۴ و ۳  |
| ۱۵۴۹/۱۲/۱۵   | ۳۳/۷  | ۶۰    | ۶/۷ |     | شمال بیرجند                             | ۴      |
| زمستان ۱۶۷۵  | ۳۴/۳  | ۵۹/۹۶ | ۶/۵ |     | گتاباد/بیدخت؟                           | ۱      |
| ۱۸۴۷         | -     | -     | -   |     | قائی؟                                   | ۴      |
| ۱۹۲۳/۱۱/۲۹   |       |       | ۶/۵ |     | پاوه؟                                   | ۴      |
| ۱۹۳۶/۶/۳۰    | ۳۳/۶۱ | ۵۹/۹۶ | ۶/۰ |     | گسل راستالغز راستبر آبیز (وسط گسل)      | ۵      |
| ۱۹۴۱/۲/۱۶    | ۳۳/۴۱ | ۵۸/۸۷ | ۶/۱ | ۶/۴ | محمدآباد                                | ۱      |
| ۱۹۴۷/۹/۲۳    | ۳۳/۶۷ | ۵۸/۶۷ | ۶/۸ | ۶/۸ | دوست آباد                               | ۳ او ۳ |
| ۱۹۶۲/۴/۱     | ۳۳/۲۱ | ۵۸/۸۷ | ۵/۵ |     | چاهک موسوی                              | ۱      |
| ۱۹۶۸/۸/۳۱    | ۳۴/۰۲ | ۵۹/۰۳ | ۷/۳ | ۷/۱ | گسل راستالغز چپ بر دشت بیاض (باختر گسل) | ۱      |
| ۱۹۶۸/۹/۱     | ۳۴/۱۰ | ۵۸/۲۸ | ۶/۴ | ۶/۴ | گسل معکوس فردوس (ثلث شمال باختری)       | ۱      |
| ۱۹۷۶/۱۱/۷    | ۳۳/۸۶ | ۵۹/۲۳ | ۶/۵ | ۶/۰ | آوش گسل راستالغز چپ بر                  | ۲      |
| ۱۹۷۹/۱/۱۶    | ۳۳/۹۶ | ۵۹/۵۳ | ۶/۷ | ۶/۵ | بنز آباد یا پاوه گسل معکوس/ راست بر     | ۲      |
| ۱۹۷۹/۱۱/۱۴   | ۳۳/۹۰ | ۵۹/۸۳ | ۶/۶ | ۶/۶ | گسل آبیز (شمال گسل)                     | ۲ او ۱ |
| ۱۹۷۹/۱۱/۲۷   | ۳۴/۰۵ | ۵۹/۶۳ | ۷/۱ | ۷/۱ | گسل دشت بیاض (خاور گسل)                 | ۲ او ۱ |
| ۱۹۷۹/۱۲/۷    | ۳۴/۰۳ | ۵۹/۸۰ | ۶/۱ | ۵/۹ | گسل آبیز (شمال گسل)                     | ۲      |
| ۱۹۹۷/۵/۱۰    | ۳۳/۸۶ | ۵۹/۸۳ | ۷/۳ | ۷/۲ | گسل آبیز (کل گسل)                       | ۲      |
| ۱۹۹۷/۶/۱۶    | ۳۳/۲۹ | ۶۰/۰۷ | ۵   | ۵   | -                                       | ۲      |
| ۱۹۹۷/۶/۲۵    | ۳۳/۹۴ | ۵۹/۴۸ | ۵/۸ | ۵/۷ | بنز آباد یا پاوه؟                       | ۲      |



شکل (۳): تصویر هوایی از زلزله ۳۱ اوت ۱۹۶۸ دشت بیاض و گیبیختگی سطحی ناشی از این زلزله در شرق دشت بیاض و اطراف روستای میم. جایه جایی چپ بر آبراهه در تصویر دیده می شود. خطوط قنات قدیمی و جدید در تصویر به وضوح دیده می شود. قنات های قدیمی به دلیل عملکرد زلزله های تاریخی جایه جا شده اند [۲۱].

سامانه گسلی فردوس با روند شمال باختری - جنوب خاوری با شیب به سمت شمال خاور در خاور ایران قرار دارد. این سامانه از چندین گسل معکوس و رانده تشکیل شده است. کوه سیاد در فرادیواره این سامانه قرار گرفته، که ارتفاع زیاد آن بیانگر جنبش فعال این گسل است. این گسل رسوبات ترشیزی و کواترنری را بالا رانده و چین داده است. حرکت گسل رانده فردوس به سمت باختر، در رشد پهنه گسلی راستالغز دشت بیاض نقش اساسی دارد [۲۱].

**۳-۲- زلزله ۷ نوامبر ۱۹۷۶ وندیک**  
زلزله با بزرگی  $M_w = 6/5$  در شمال شهر قائن و بر روی گسل آوش با یک سازو کار چپ بر خاوری - باختری روی داد. طی این زمین لرزه که در یک گسل امتداد لغز خاوری باختری به وقوع پیوست قنات های خونیک بالا تخریب گردید.

## ۲-۲- زلزله ۱ سپتامبر ۱۹۶۸ میلادی فردوس

حدود ۲۰ ساعت پس از زمین لرزه دشت بیاض ساعت ۱۱ صبح روز دهم شهریور ۱۳۴۷ زمین لرزه ای به بزرگی  $M_w = 6/2$  ناحیه فردوس را لرزاند. حل سازو کار ژرفی زمین لرزه، گسلی معکوس با مؤلفه راستالغز راست بر را معرفی می کند و شواهد ریخت زمین شناختی چین خوردگی مرتبط با راندهای پنهان را در خاور فردوس و باختر کوه تون این موضوع را تأیید می کند [۲۱]. روابط هندسی، جهت بردارهای حرکتی و تأخیر زمانی حرکت گسل فردوس نسبت به گسل دشت بیاض این عقیده را قوت می بخشد که حرکت تؤام با زمین لرزه گسل فردوس در اثر تحریک ناشی از حرکت گسل دشت بیاض بوده است. از این رو راندهای فردوس را می توان به عنوان راندهای پایانه ای گسل دشت بیاض معرفی کرد.

(۲) کیلومتری شمال شهر کنونی خضری) بوده و در طی فرآیندهای متعدد حرکتی به موقعیت کنونی پهنه‌ی گسلی تغییر مکان داده است [۳۰]. این مسئله در ارزیابی حریم گسل‌های فعال بسیار حائز اهمیت است زیرا ارائه رابطه تجربی مبنی بر میزان مهاجرت و همچنین جهت و هندسه مهاجرت افزار گسلی در پهنه‌ی امتداد لغز داشت بیاض و مناطق در معرض خطر در حرکات لرزه‌ای آتی این گسل‌ها را نشان خواهد داد (شکل ۴). واکر در سال ۲۰۰۳ در شرق فردوس یک زون بالا آمده و چین خورده را نشان داد. رسوبات کواترنری در قسمت شرقی گسل راندگی تغییر کرده‌اند. تغییر شکل این زون به زمین لرزه‌های تراستی اول و چهارم سپتامبر ۱۹۶۸ کمی بعد از زمین لرزه داشت بیاض نسبت داده می‌شود. چین خوردگی‌ها و گسل خوردگی‌های امروزی به سمت غرب در فرو دیواره گسل راندگی قدیمی تر (نئوژن) جایه‌جا شده‌اند تا به شکل رشته جلویی کوه کلات در آید. برخاستگی در بالای گسل فردوس می‌شیرین تظاهر را در انتهای جنوب شرقی دارد تا جایی که سنگ پستر از رسوبات کواترنری و نئوژن بر هنر شده است. جایه‌جا ای‌ها در گسل راندگی فردوس به صورت متقاطع افت می‌کند. همان‌طور که گسل امتداد لغز با به هم پیوستگی جدید در جهت غرب گسل راندگی رشد می‌کند، مهاجرت گسل فردوس نیز ممکن شرکت کند. سازوکار مشابه برای رشد گسل‌های امتداد لغز در مغولستان پیشنهاد شده است. مهاجرت گسل فردوس نیز ممکن است به دلیل رشد گسل داشت بیاض باشد [۱]. وجود افزارهای گسلی در بخش‌های مختلف گسل داشت بیاض و تفاوت در میزان فرسایش در مناطق شمالی و جنوبی، نشان می‌دهد که افزارها در مناطق شمالی فرسایش بیشتری دارند و به نظر قدیمی ترند و بخش‌های جنوبی در محل گسیختگی جدید با فرسایش کمتر دیده شده‌اند. بررسی این موضوع و در ادامه مطالعه تغییرات تنفس کولمب می‌تواند مناطق پر خطر در آینده را معرفی نمایند.

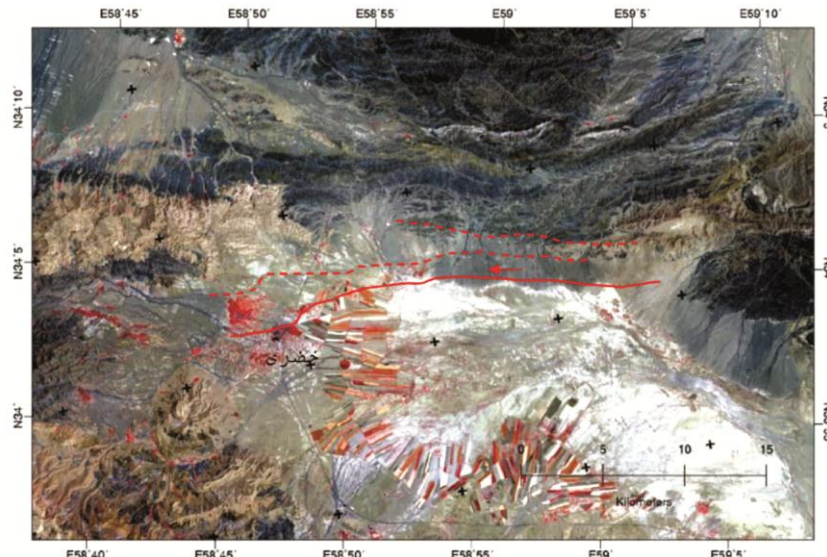
## ۲-۴- زلزله ۲۷ نوامبر ۱۹۷۹ کلی- بنیاباد

این رخداد بزرگ زلزله با بزرگی  $M_w = 7/1$ ، یک دگر ریختی به طول ۶۰ کیلومتر است که مرکز سطحی آن در شرقی ترین بخش از گسل دشت بیاض اتفاق افتاده است؛ که از طول جغرافیایی ۵۹ درجه و ۱۵ دقیقه در شرق زیقان تا طول ۵۹ درجه و ۵۰ دقیقه، بین دره چاه زندر و بنیاباد می‌باشد. این زلزله موجب دگر ریختی ۱۵ کیلومتری در سطح گسل دشت بیاض شد، که ادامه آن به شرق زیقان می‌رسد. جزئیات دگر ریختی‌های سطحی در آن زمان به خوبی شناخته نشده بود. اما حقی پور و عمیدی [۲۹] گزارش کردند که در انتهای شرقی منطقه شکسته شده جدایش‌های قائم بیشتر از  $2/5$  متر بوده و جایه‌جایی افقی چپ بر در اینجا ۱ تا ۴ متر است. به اعتقاد حقی پور و عمیدی در اثر این زلزله، ۱۵ کیلومتری شرقی ترین بخش گسل راست بر آبیز دوباره فعال شد؛ اما بر بریان و یتس [۲۴] نشان دادند که زلزله ۷ دسامبر ۱۹۷۹ کلات شور (جدول ۱) مسئول این شکستگی است. مرکز سطحی زلزله در انتهای شرقی دگر ریختی سطحی ۱۹۷۹ است. از آنجا که دگر ریختی سطحی این زلزله مشاهده شده است، لذا شکی در این نیست که دگر ریختی اصلی حاصل یک گسل امتداد لغز چپ بر شرقی- غربی است.

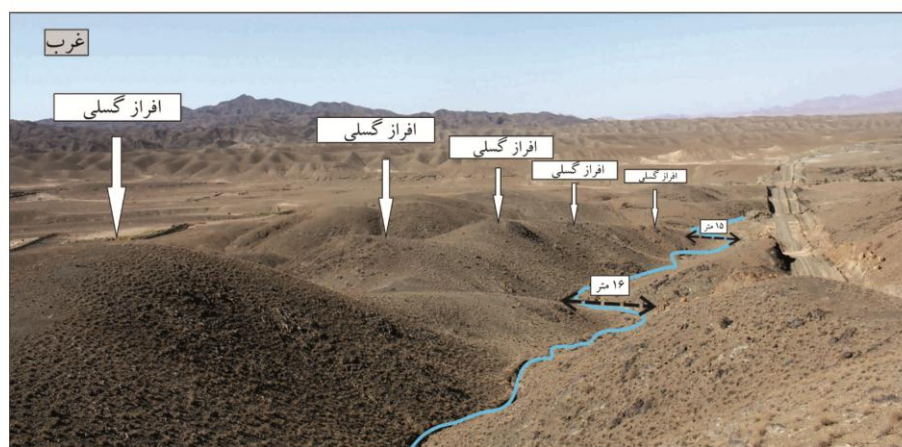
## ۳- زمین‌ریخت‌شناسی و لرزه‌خیزی سیمای سطحی گسل دشت بیاض و فردوس

مهاجرت پهنه گسله دشت بیاض به سمت جنوب یکی از پدیده‌های ریخت‌زمین‌ساختی در بلوک لوت می‌باشد. مهاجرت افزارهای گسلی در عرض پهنه‌ی برشی گسل امتداد لغز چپ بر داشت بیاض در منطقه چادراز و خیدبس با تظاهر افزارهای متعدد قابل مشاهده است. تفاوت در میزان فرسایش دیواره‌های افزارهای گسلی نشان دهنده‌ی پیدایش ناهم زمان این افزارها در طی رویدادهای لرزه‌ای متعدد است.

بررسی تصاویر ماهواره‌ای آستر و لندست TM نشان می‌دهد که آثار افزارهای گسلی در مرز بین تپه‌های شمال خضری



(الف)



(ب)

شکل (۴): (الف) مهاجرت پهنه‌ی گسل دشت بیاض به سمت جنوب طی فعالیت‌های متعدد. خط چین‌های قرمز مربوط به فعالیت‌های قبلی و خط پیوسته مربوط به گسیختگی زلزله ۱۹۶۸ دشت بیاض است [۳۰]. (ب) مهاجرت افرازهای گسلی دشت بیاض در سه کیلومتری روستای عباس‌آباد (موقعیت  $34^{\circ}0'0''$  و  $59^{\circ}0'2''$ ). در محل افرازهای گسلی جابه‌جایی آبراهه‌ها و فرسایش دیده می‌شود. محل برداشت تصویر در شکل (۱-ب) نشان داده شده است.

زمین‌شناسی آمریکا (USGS) بر روی زمین‌لرزه‌های کالیفرنیا جنوبی به کار گرفته شد.

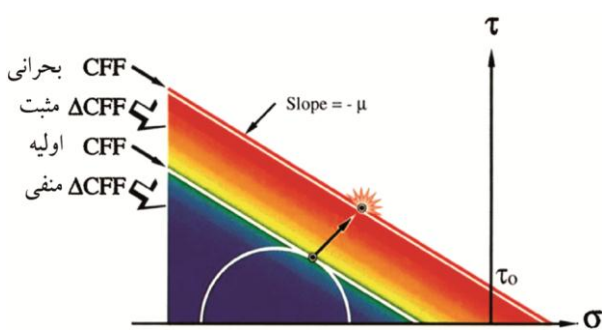
فرضیه‌ی برانگیختگی تنش<sup>۲</sup> بدین صورت است که گسل‌ها، به تنشی که از گسل‌ها یا زمین‌لرزه‌های مجاور دریافت می‌کنند، پاسخ می‌دهند. تحلیل تنش کولمب به خوبی موقعیت زمین‌لرزه‌های مشخص در گذشته را توصیف می‌کند [۳۱].

مدل تنش گسیختگی کولمب بر اساس محاسبه‌ی آستانه‌ی شروع لغزش در سطوح گسلی تحت تنش با فرمول معیار

زمین‌لرزه‌ها می‌توانند با یکدیگر برهم کنش داشته باشند و این موضوع می‌تواند منجر به توالی زمین‌لرزه‌ها، خوشبندی و رخداد پس‌لرزه‌ها گردد. یکی از معیارهای برهم کنش که مربوط به درک عمیق از رخداد زمین‌لرزه و توصیف بهتری از خطرات احتمالی می‌باشد، انتقال تنش کولمب است. مدل تنش کولمب تغییرات تنش ایستایی روی سطوح لغزش یک منطقه را قابل محاسبه می‌نماید و اولین بار توسط پژوهشگران سازمان

#### ۴- تغییرات تنش کولمب

گسیختگی است. رنگ قرمز (گرم) نشان دهندهٔ مقادیر بالا و رنگ آبی (سرد) نشان دهندهٔ مقادیر کم تابع گسیختگی کولمب می‌باشد. هر مقدار از تغییرات تابع تنش کولمب ( $\Delta CFF$ ) مربوط به تغییرات تنش برشی و تنش نرمال است. تغییرات مثبت در تنش برشی و نرمال، مقدار تابع گسیختگی کولمب (CFF) را افزایش داده و گسل به سمت گسیخته شدن حرکت خواهد کرد. از طرف دیگر، مقادیر منفی در CFF گسل را از حالت گسیختگی دور می‌کند [۳۴].



شکل(۵): شکل ساده شده قانون گسیختگی کولمب توسط دایره مور.<sup>۶</sup> و <sup>۷</sup> مؤلفه‌های نرمال و برشی تنش بر روی یک گسل بالقوه می‌باشد. رنگ گرم (قرمز) نشان دهندهٔ مقادیر زیاد تابع گسیختگی کولمب (CFF) و رنگ سرد (آبی) نشان دهندهٔ مقادیر کم این تابع است. محل برخورد محور  $\tau$  با خط بحرانی تابع گسیختگی کولمب، چسبندگی<sup>۸</sup> می‌باشد. مقادیر مثبت در CFF در ارتباط با زمین لرزه‌های گذشته یا بازگذاری تکتونیکی بوده که بیانگر حرکت به طرف گسیخته شدن است و احتمال لغزش در زمین لرزه‌های آینده را افزایش می‌دهد. مقادیر منفی بیانگر دور شدن از گسیختگی می‌باشد.

در ساده‌ترین شکل، تغییر تنش گسیختگی کولمب  $\Delta\sigma_f$  که به صورت  $\Delta CFF$  یا  $\Delta CFS$  نیز نوشته می‌شود برابر است با:

$$\Delta\sigma_f = \Delta\tau_\beta - \mu' \Delta\sigma_n \quad (1)$$

در این رابطه  $\Delta\sigma_f$  تغییرات تنش کولمب،  $\Delta\tau_\beta$  و  $\Delta\sigma_n$  به ترتیب تغییرات تنش برشی و نرمال اعمال شده روی سطوحی که با تنش اصلی بیشینه  $\sigma_1$  زاویه  $\beta$  می‌سازند. <sup>۹</sup> به عنوان ضریب اصطکاک مؤثر از رابطه (۲) به دست می‌آید:

گسیختگی کولمب از یک سو و محاسبه تنش حاصل از حرکت بلوک‌های دو سوی یک گسیختگی سرچشمه از سوی دیگر، برهم کنش زمین لرزه‌ها و پراکندگی مکانی پس لرزه‌ها را در بر می‌گیرد و نتایج حاصل از آن با احتمالات زمین لرزه‌ای و تغییرات نرخ لرزه‌خیزی همخوانی‌های کمیتی دارد.

حرکت بلوک‌های دو طرف یک گسیختگی باعث ایجاد تغییراتی در تنش ایستایی محیط اطراف آن می‌شود که در هر نقطه با مقدار کرنش ایجاد شده در آنجا متناسب است. این تغییر تنش روی سطوح گیرنده اطراف گسیختگی دارای دو مؤلفه نرمال و برشی می‌شود که نسبت آنها به سامانه هندسی این سطح بستگی دارد. معیار گسیختگی کولمب یکی از معیارهایی است که گسیخته شدن نوپدید<sup>۱۰</sup> و به جنبش در آمدن گسل‌های قدیمی را در حالت شکننده، در یک محیط الاستیکی، تحت تأثیر تنش کنترل می‌کند، که تابع هر دو نوع تنش نرمال و برش اعمال شده روی سطوح گیرنده می‌باشد.

الگوریتم محاسبات در این مقاله منطبق بر مطالعات او کادا [۳۲] می‌باشد که با انجام یکسری محاسبات پیچیده ریاضی، کرنش و تنش ایجاد شده به وسیله سرچشمه‌های نقطه‌ای و صفحه‌ای را با استفاده از تئوری جابه‌جایی<sup>۱۱</sup> در یک نیم فضای الاستیکی<sup>۱۲</sup> به صورت فرمول‌های تجزیه‌ای بسته<sup>۱۳</sup> محاسبه می‌نماید. در این مقاله از میان برنامه‌های کامپیوتری که توسط مراکز مختلف بر پایه این روابط و روابط پیش از این نوشته شده‌اند، از برنامه Coulomb 3.3 در سازمان زمین‌شناسی آمریکا (USGS) تهیه شده است، استفاده شد.

اگر یک زمین لرزه بتواند زمین لرزه دیگر را برانگیخته کند یا منجر به عدم برانگیختگی در آن شود در این صورت از تغییرات تنش کولمب برای برآورد آن استفاده می‌شود. تغییرات تابع گسیختگی کولمب بر روی دایره مور به طور ساده در شکل (۵) آمده است که در آن ضریب اصطکاک ظاهری ثابت در نظر گرفته شده است. هر مقدار ثابت از تابع گسیختگی کولمب (CFF) نشان دهندهٔ یک خط صاف و موازی با پوش بحرانی<sup>۱۴</sup>

بلافاصله پس از وقوع زمین لرزه،  $B \approx 2/3$  اما در صورتی که سیالات به طور کامل از زون گسلش زهکش شوند، می‌تواند به صفر نیز کاهش یابد. می‌توان مقدار  $\mu = 0.4$  را در نظر گرفت که معادل مقادیر آزمایشگاهی اصطکاک است ( $0.75 \sim 0.80$ ) و فشار متوسط می‌باشد. در صورتی که سیالات به طور کامل خارج نشده باشند  $B = 0.5$  در نظر گرفته می‌شود [۳۹].

بیشینه تغییرات تنش کولمب روی سطوحی روی می‌دهند که جهت یافتنگی بهینه دارند [۴]. انتظار روی دادن پس لرزه‌ها روی این سطوح بیشتر است و معمولاً گسیختگی‌های فعال از آن تبعیت می‌کنند. زاویه  $\beta$  در این سطوح با  $\mu$  تابع است [۳].

$$\tan 2\beta = \pm 1/\mu \quad (3)$$

محاسبات در یک فضای کشسان با مدول یانگ  $10^5$  بار، مدول برشی  $10^5$  بار و نسبت پواسون  $0.25$  انجام گرفته است. عمق زمین لرزه اصلی  $10$  کیلومتر [۴۰] و طول گسیختگی  $80$  کیلومتر در نظر گرفته شده است [۴۱]. عرض پهنه‌ی گسیختگی، لغزش و طول گسیختگی نیز از روابط لئونارد [۲۰۱۰] [۴۱] مورد ارزیابی و محاسبه قرار گرفته است. پارامترهای محاسبه شده و مراجع مربوط به هر کدام در جدول (۲) آورده شده است.

جابه جایی روی گسیختگی همراه با یک زمین لرزه، عامل

$$\mu' = \mu(1-B) \quad (2)$$

در این رابطه،  $\mu'$  ضریب اصطکاک می‌باشد که بین  $0.1$  تغییر می‌کند [۳۵-۳۷]. مقادیر ضریب اصطکاک مؤثر روی گسل‌های اصلی، پایین ( $0.2 < \mu' < 0.4$ ) و روی گسل‌های فرعی بالا ( $0.8 > \mu' > 0.4$ ) می‌باشد [۳۵].  $\mu'$  معمولاً برای گسل‌هایی با لغزش تجمعی ناچیز درنظر گرفته می‌شود که در این حالت سطح گسل معمولاً خشن است و برای گسل‌هایی با لغزش تجمعی زیاد که سطوح گسلی صاف تری دارند،  $0.4 < \mu' < 0.8$  درنظر گرفته می‌شود [۳۸]. گسل‌های بالغ <sup>۸</sup> مانند سن اندریاس مقدار ضریب اصطکاک کمی دارند [۳۵]. لذا بر اساس مطالعه گفته شده در این مطالعه از ضریب اصطکاک مؤثر  $0.4$  استفاده شده است.  $B$  ضریب اسکمپتون <sup>۹</sup> می‌باشد و بین  $0$  (برای خاک خشک) تا  $1$  (برای خاک کاملاً اشباع شده) تغییر می‌کند [۳۵]. این ضریب برای خاک‌ها تعیین می‌گردد و بستگی به مدول بالک <sup>۱۰</sup> مواد و حجمی که توسط سیال اشغال شده است، دارد. فشار سیال می‌تواند در حین جریان یافتن تغییر کند که این تغییر کندتر از تنش سنگی می‌باشد و تنش نرمال مؤثر را کاهش می‌دهد. در واقع فشار سیال می‌تواند به وسیله ضریب اسکمپتون به تنش محصور شده در سنگ ارتباط پیدا کند [۳].

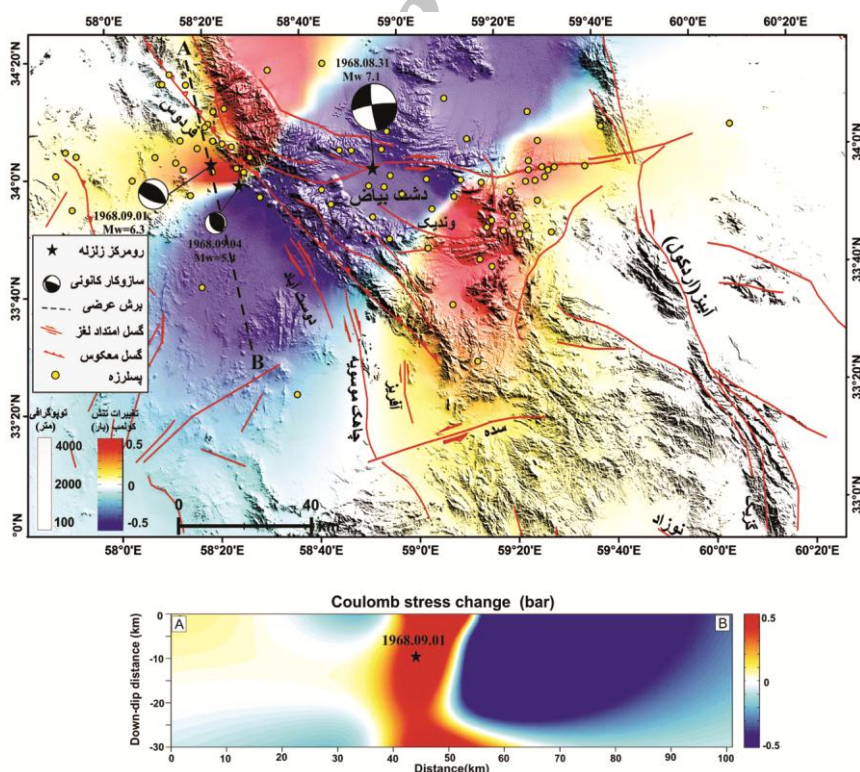
جدول (۲): پارامترهای گسیختگی برای زمین لرزه‌های منطقه مورد مطالعه. حروف اشاره شده در جدول مربوط به مراجع ذیر می‌باشند: الف: بربیان و همکاران [۲۶]، ب: واکر و همکاران [۲۱]، ج: واکر و همکاران [۱]، د: واکر و همکاران [۴۰]، ه: لنونارد [۴۲]، ی: جکسون [۲۰۰۱]، ز: [۴۳].

| تاریخ          | عرض جغرافیایی | طول جغرافیایی | عمق جغرافیایی (کیلومتر) | $M_0$ ( $10^{18}$ Nm) | $M_W$ | سازوکار |     |     | طول گسل (کیلومتر) | عرض گسل (کیلومتر) | جابه جایی (سانتی‌متر)      |
|----------------|---------------|---------------|-------------------------|-----------------------|-------|---------|-----|-----|-------------------|-------------------|----------------------------|
|                |               |               |                         |                       |       | امتداد  | شیب | ریک |                   |                   |                            |
| ۱۹۶۸ اوت ۳۱    | ۳۴/۰۷         | ۵۸/۰۱         | ۱۷                      | ۵۹/۹۷۰                | ۷/۱   | ۲۵۴     | ۸۴° | ۵°  | ۷۰                | ۲۷                | (افقی) $400$ (عمودی) $250$ |
| ۱۹۶۸ سپتامبر ۱ | ۳۴/۰۹         | ۵۸/۰۱۵        | ۹                       | ۳/۴۲۰                 | ۶/۳   | ۱۱۵     | ۵۴° | ۸۵° | ۳۵                | ۱۷                | ۱۰۰                        |
| ۱۹۶۸ سپتامبر ۴ | ۳۴/۰۴         | ۵۸/۰۲۴        | ۹                       | ۲/۲۵۶                 | ۵/۵   | ۱۴۸     | ۵۶° | ۸۱° | ۳۵                | ۱۱                | ۹۰                         |
| ۱۹۷۶ نوامبر ۷  | ۳۳/۸۴         | ۵۹/۱۷         | ۸                       | ۲/۵۴۱                 | ۶     | ۸۴      | ۷۹° | ۱۲° | ۲۴                | ۸                 | ۵۵                         |
| ۱۹۷۹ نوامبر ۲۷ | ۳۴/۰۶         | ۵۹/۷۷         | ۸                       | ۵۰/۱۱۹                | ۷/۱   | ۲۶۱     | ۸۹° | ۸۰° | ۶۰                | ۱۵                | (افقی) $400$ (عمودی) $250$ |
| ۱۹۷۹ دسامبر ۷  | ۳۴/۱۳         | ۵۹/۸۹         | ۱۰                      | ۱/۲۱۶                 | ۵/۹   | ۱۱۳     | ۸۴° | ۲۱° | ۱۲                | ۹                 | (افقی) $230$ (عمودی) $90$  |

در این مطالعه ابتدا برای گسل چشم، میزان لغزش برآورد شده توسط بربیان و همکاران [۲۶]، واکر و همکاران [۱، ۲۱] و سایر اطلاعات موجود استخراج گردید. سپس با استفاده از روابط لثناراد [۴۴] که تصحیح شده‌ی روابط ولز و کوپر اسمیت [۴۷] و پژوهشگران دیگر است محاسبه گردید. در مدل انجام شده در این مطالعه از یک قطعه<sup>۱۱</sup> و لغزش میانگین استفاده شده است.

در شکل (۶) تغییرات تنش کولمب ناشی از زمین‌لرزه ۳۱ اوت ۱۹۶۸ گسل دشت بیاض غربی بر روی گسل رانده فردوس به عنوان گسل گیرنده بررسی شده است. باید در نظر داشت که مقادیر مثبت تغییرات تنش کولمب ( $\Delta CFS$ ) نشان می‌دهد که صفحه‌ی موردنظر به گسیختگی نزدیک شده است و مقادیر منفی تغییرات تنش کولمب بیانگر آن است که صفحه موردنظر از حالت گسیختگی دور شده است. به عبارت دیگر، افزایش یا کاهش تنش کولمب می‌تواند موجب تقدم یا تأخیر در وقوع زمین‌لرزه‌ها شود. هرگاه دامنه تغییرات تنش کولمب مثبت باشد

اصلی ایجاد کرنش در بلوك‌های دو سوی گسیختگی و تنش روی سطوح لغزش اطراف می‌باشد [۳]. برای اندازه‌گیری لغزش روی گسیختگی سال ۱۹۹۲ لندرز، روش والد و هیتون [۴۴] را استفاده کردند که شامل تمام روش‌های اندازه‌گیری داده‌های زمین پیمایش، دورلرزه‌ای و شتابنگاری می‌باشد. اما استین [۳۹] به دلیل عدم دسترسی به اطلاعات دیگر فقط از داده‌های اندازه‌گیری شده لغزش سطحی برای گسل آناتولی شمالی استفاده کرده است. در گسل دشت بیاض داده‌های لغزش سطحی توسط تعدادی از پژوهشگران اندازه‌گیری شده است که به عنوان مثال می‌توان به امرسیز و چالنکو [۴۵، ۲۲] و همچنین نیازی [۴۶] اشاره کرد. امرسیز و چالنکو در سال ۱۹۷۵ [۲۸] مجدداً بررسی‌هایی انجام دادند که به خصوص در دره نیمبلوک و خیدبس به نسبت از دقت بالاتری برخوردار بوده و در جدول (۲) آمده است.



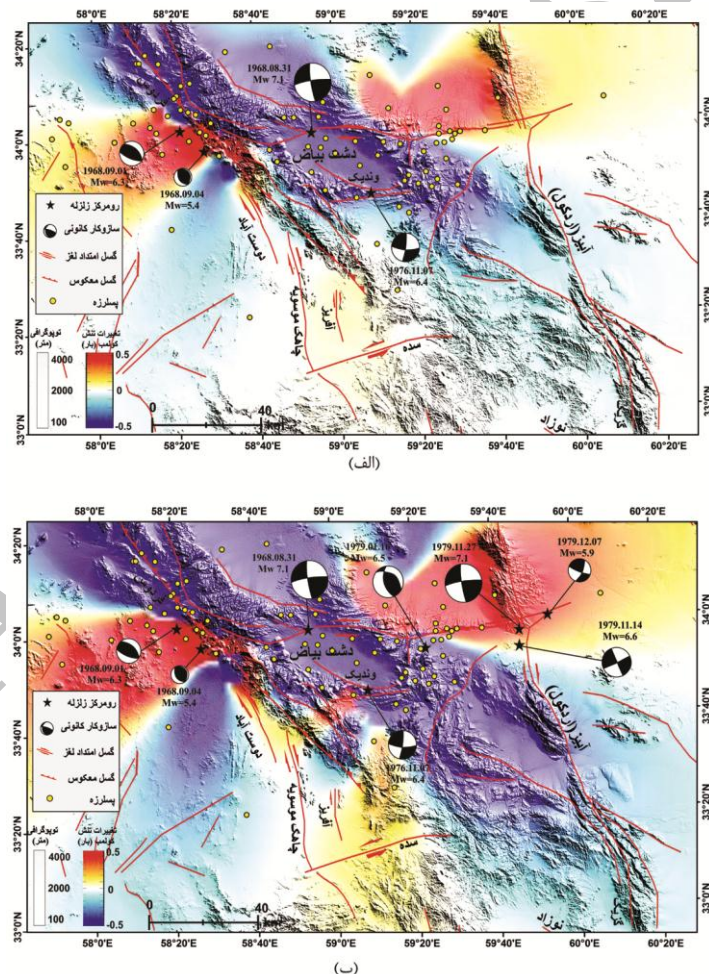
شکل (۶): تغییرات تنش کولمب ناشی از زمین‌لرزه ۱۹۶۸ دشت بیاض غربی به عنوان گسل چشم و اثر آن بر گسل رانده فردوس به عنوان گیرنده بررسی شده‌اند. همان‌گونه که در شکل مشاهده می‌شود بخش شمالی گسل فردوس در منطقه خیز تنش واقع شده است. تغییرات در اعمق مختلف موردن بررسی قرار گرفت که در اینجا عمق ۹ کیلومتر نشان داده شده است.

حدود ۳۰ کیلومتر گسیختگی سطحی در امتداد سامانه گسلی فردوس داشته است که در زمان روی دادن آن مورد بررسی قرار نگرفته است [۴۸]. لازم به ذکر است، برای یافتن موقعیت هندسی این گسیختگی سازوکار ژرفی این زمین‌لرزه مورد بررسی قرار گرفت که در نوشه‌های مختلف به صورت متفاوتی ارائه شده است. اما بر بریان و همکاران [۲۶] و واکر و همکاران [۲۱] با کمک سازوکار ژرفی امتداد شمال باختر جنوب خاور و شیب به سمت شمال شرق را برای این گسل به کار گرفته‌اند.

تغییرات تنش کولمب تجمعی ناشی از زمین‌لرزه ۱۹۶۸ دشت بیاض و فردوس بر روی گسل‌های راستالغاز آوش در شکل (۷-الف) نشان داده شده است.

برای برانگیختگی زمین‌لرزه‌های بعدی مورد توجه قرار می‌گیرد. به طور کلی افزایش تنش کولمب به میزان بیشتر یا مساوی ۰/۱ بار می‌تواند اثر مستقیم و مثبتی بر برانگیختگی زمین‌لرزه‌های بعدی داشته باشد [۳۸-۳۶].

در الگوی به دست آمده از تغییرات تنش کولمب دو زبانه‌ی خیز تنش که به هم چسبیده‌اند در اطراف زبانه افت تنش واقع شده‌اند. الگوی به دست آمده نشان می‌دهد که بخش‌های شمالی تر گسل فردوس در اثر این زمین‌لرزه در محدوده‌ی خیز تنش تا ۰/۵ بار نیز شده‌اند که نشان می‌دهد زمین‌لرزه اتفاق افتاده در کمتر از ۲۴ ساعت بعد از زلزله‌ی ویرانگر دشت بیاض می‌تواند متأثر از زلزله‌ی روز قبل باشد. زمین‌لرزه‌ی فردوس



شکل (۷): (الف) نقشه تغییرات تنش کولمب تجمعی ناشی از زمین‌لرزه ۱۹۶۸ دشت بیاض و فردوس به عنوان گسل چشم و گسل آوش (وندیک) به عنوان گسل گیرنده، (ب) تغییرات تنش تجمعی ناشی از زمین‌لرزه‌های دشت بیاض، فردوس و وندیک. در این شکل گسل گیرنده دشت بیاض شرقی است که در منطقه خیز تنش (بیش از ۰/۲ بار) قرار می‌گیرد و نشان می‌دهد که این زلزله متأثر از سه زلزله قبلی بررسی شده در این مطالعه می‌باشد. بررسی‌ها در عمق ۱۰ کیلومتر صورت گرفته است.

گسل، اطلاعات اتساع آب شکافت<sup>۱۲</sup> یا شکستگی گمانه<sup>۱۳</sup> و وارونه سازی خش های گسلی<sup>۱۴</sup> برای ارزیابی محورهای تنفس اصلی بیشینه استفاده کرد. نقشه استرس جهانی نیز می تواند مورد استفاده قرار بگیرد که جهت حدود N45E را نشان می دهد [۵۴]. ماسون و همکاران [۵۵] نیز بر اساس اطلاعات لرزه شناسی و GPS مقدار نرخ کرنش را در ایران به دست آورده اند. جهت بیشینه کوتاه شدگی نزدیک به جهت بیشینه فشارش گسل های تراستی در بلوك لوت می باشد. مطابق با نظر ظرفی و همکاران [۵۶] جهت بیشینه تنفس افقی در این ناحیه بر اساس محورهای P و T حاصل از سازو کارهای ژرفی زمین لرزه ها دارای امتداد ۲۲۲/۲ درجه و زاویه میل ۳/۷ می باشد. بنابراین با به کار بردن این جهت به عنوان بیشینه تنفس منطقه، تغییرات تنفس کولمب بر روی جهت های بهینه محاسبه گردید (شکل ۶ و ۷). زمین ساخت و گسل های فعال منطقه (شکل ۱) نشان می دهد که سازو کار گسل های غالب منطقه راستالغز و رانده می باشد. میانگین نرخ کوتاه شدگی ژنودیک در کل بلوك لوت حدود ۹ میلی متر در سال برآورده شده است [۱۸].

توزیع مکانی پس لرزه های زمین لرزه ۳۱ اوت ۱۹۶۸ دشت بیاض برگرفته از بایر و همکاران [۵۷] نشان می دهد که این پس لرزه ها از پراکندگی و بی نظمی قابل توجهی برخوردار بوده و به سختی می توان سه تجمع مکانی در آنها مشاهده کرد. از آنجا که در بررسی توزیع مکانی پس لرزه ها به رخدادهایی نیاز است که به خوبی تعیین مکان شده باشند و امکان مکان یابی مجدد و کاهش خطای رومرکز و عمقی رخدادها وجود داشته باشد، لذا در این مطالعه نمی توان تفسیر صحیحی از توزیع مکانی پس لرزه ها ارائه نمود. بنابراین عدم قطعیت های موجود در پارامترهای روش کولمب، اطلاعات لرزه ای و گزارش های موجود و برداشت شده از گسل ها، محدودیت هایی را برای اظهار نظر قطعی ایجاد می کنند.

تأثیر زمین لرزه سال ۱۹۶۸ دشت بیاض بر روی زمین لرزه فردوس نشان می دهد که این زلزله ها کاملاً از مدل تنفس کولمب

در این شکل تغییرات منفی تنفس کولمب دارای روند شمال باخته‌ی جنوب خاوری است و تغییرات مثبت دارای چهار پهنه می باشد که در آن پهنه های با روند باخته‌ی خاوری نسبت به دیگر پهنه ها برجسته تر هستند و افزایش تنفس ۰/۱ تا ۰/۵ بار را تجربه کرده اند. زلزله ۱۹۷۶ وندیک (بر روی گسل آوش در شمال شهرستان قائن) در منطقه کاهش تنفس (سایه تنفس) قرار دارد و به میزان ۰/۲ - ۰/۵ بار از گسیختگی دور می شود.

در ادامه محاسبات اثر تجمعی تغییرات تنفس ناشی از هر سه زمین لرزه دشت بیاض، فردوس و وندیک بر روی گسل دشت بیاض شرقی به عنوان گیرنده مورد بررسی قرار گرفته است. زمین لرزه کولی - بنیاباد در پایانه شرقی گسل چپ بر دشت بیاض رخداده است. نتایج تغییرات تنفس کولمب نشان می دهد کانون این زمین لرزه در منطقه خیز تنفس ناشی از رخدادهای ۱۹۶۸- ۱۹۷۶ بوده و به اندازه ۰/۲ تا ۰/۴ بار به گسیختگی نزدیک تر شده است.

## ۵- بحث

با توجه به مطالعات انجام شده، رابطه مشخصی بین موقعیت مکانی پس لرزه ها و نواحی افزایش تنفس کولمب وجود دارد [۴۹]؛ به طوری که تغییرات مثبت تنفس کولمب پس از رخدادهای لرزه ای بزرگ به اندازه بیش از ۰/۱ بار موجب تغییر نرخ لرزه خیزی می شود [۳۵، ۳۰، ۵۰]. به عبارت دیگر پس لرزه های یک زمین لرزه در روی گسل های اطراف بر اثر تغییرات تنفس حاصل از زلزله اصلی و تغییر ویژگی های فیزیکی محیط پیرامون موجودیت می بابند [۵۱-۵۳].

تنفس ناحیه ای (زمین ساختی) و راستای آن در منطقه از پارامترهای مهم در مدل تنفس کولمب است که پایدار و ثابت بوده و عامل دگر ریختی در منطقه می باشد و ساختارها را متاثر می سازد؛ زیرا بیشینه لغزش احتمالی در زاویه های ویژه ای نسبت به راستای تنفس ناحیه ای روی می دهد [۳، ۱۰].

برای این منظور می توان از محورهای P و T حاصل از سازو کار ژرفی زمین لرزه های رخداده بر روی صفحه اصلی

در این مناطق گردیده است. اما زمین لرزه ۱۹۷۶ وندیک در منطقه قائن در منطقه‌ی سایه تنفس واقع بوده و از این مدل پیروی نمی‌کند. شواهد زمین‌ریختی نشان می‌دهد گسل دشت بیاض در طی تکامل خود از بخش‌های شمالی تر در نزدیکی گناباد به سمت بخش‌های جنوبی تر مهاجرت نموده است که این در تصاویر ماهواره‌ای و عکس‌های هوایی نیز مشاهده می‌شود. وجود افزارهای فرسایش یافته، جایه جایی قنات‌ها در طول تاریخ و زمین لرزه‌های تاریخی بخش‌های شمالی تر تا حدودی می‌تواند نشان‌دهنده‌ی پدیده‌ی مهاجرت افزارهای گسلی باشد که در تعیین حریم گسل اهمیت ویژه‌ای دارند.

### قدرتانی

بدین‌وسیله مراتب سپاس نویسنده‌گان مقاله از سردبیر و ویراستار محترم فصلنامه که در روند پذیرش و ارتقاء کیفی مقاله کمک شایانی نمودند و داوران مقاله که نظرات ایشان موجب بهبود مقاله شده است اعلام می‌گردد. همچنین از سرکار خانم دکتر سعیده کشاورز جهت پیشنهادهای سازنده علمی، آقایان دکتر رضا منصوری و دکتر شیر اشکپور مطلق به واسطه راهنمایی در زمینه نرم‌افزار کمال سپاسگزاری را داریم.

### مراجع

- Walker, R., Jackson, J., and Baker, C. (2004) Active faulting and seismicity of the Dasht-e-Bayaz region, eastern Iran. *Geophys. J. Int.*, **157**, 265-282.
- Toda, S., Stein, R.S., Reasenberg, P.A., and Dieterich, J.H. (1998) Stress transferred by the M=6.5 Kobe, Japan, shock: Effect on aftershocks and future earthquake probabilities. *J. Geophys. Res.*, **103**, 24543-24565.
- King, G.C.P., Stein, R.S., and Lin, J. (1994) Static stress changes and the triggering of earthquakes. *Bull. Seismol. Soc. Am.*, **84**, 935-953.
- Stein, R.S., King, G.C.P., and Lin, J. (1992) Change in failure stress on the southern San Andreas fault

پیروی نموده است و این یک مورد آموزنده از درک شرایط برانگیختگی می‌تواند باشد. گسیختگی حاصل از زمین لرزه فردوس منطبق بر یکی از زبانه‌های خیز تنفس می‌باشد. فاصله زمانی کم بین زمین لرزه‌ی سرچشمی تنفس و زمین لرزه‌ی گیرنده تنفس اثر فرایندهای ویسکوالاستیک و خوش‌های بدون لرزه را کاهش داده است.

از طرفی به دلیل وجود بلوک صلب افغانستان در خاور بلوک لوت و ایجاد چرخش ناهمگن در بخش‌های مختلف بلوک لوت [۱۷، ۱]، در نهایت راستای تنفس تاچیه‌ای در راستای خاوری-باختری به وجود آمده است. در زمین لرزه‌ی ۱۹۶۸ دشت بیاض به دلیل نزدیکی مکان رومرکز زمین لرزه به سرچشمی تنفس مقدار این خطأ کم می‌شود. الگوی مربوط به محاسبه زمین لرزه ۱۹۷۹ کولی-بنیاباد نیز از مدل تنفس کولمب پیروی می‌نماید، یعنی زمان این زمین لرزه بعد از رویداد زمین لرزه ۱۹۶۸ دشت بیاض، فردوس و وندیک جلو افتاده است. زبانه‌های خیز تنفس در اثر گسیختگی حاصل از زمین لرزه‌های پیش از رخداد ۱۹۷۹، عاملی برای رشد طولی گسل دشت بیاض و روی دادن زلزله‌ی بعدی با ایجاد خیز تنفس در راستای خاوری گسل است.

### ۶- نتیجه‌گیری

برهم کنش زمین لرزه ۳۱ اوت ۱۹۶۸ دشت بیاض و زلزله ۱ سپتامبر ۱۹۶۸ فردوس از مدل تنفس کولمب پیروی می‌کند و تأثیر زمین لرزه دشت بیاض بر روی زمین لرزه فردوس، ایجاد شرایط برانگیختگی می‌باشد. ناجیز بودن فاصله زمانی و مکانی بین این دو زلزله می‌تواند ایجاد خطأ در محاسبات را کم کند و می‌توان این دو گسل را به عنوان گسل‌های همدرس معرفی نمود. زلزله دشت بیاض همچنین با ایجاد شرایط خیز تنفس در دو سوی گسیختگی همراه با خود موجب تسریع در رویداد زلزله ۱۹۷۹ کولی-بنیاباد شده و موجب رشد طولی گسل زمین لرزه‌ای

- Int. J. Earth. Sci.*, **94**, 401-419.
14. Jackson, J.A. and Mckenzie, D.P. (1984) Active tecnonics of the Alpine-Himalayan belt between Turkey and Pakistan. *Geophys. J. R. Aster. Soc.*, **77**, 185-264.
  15. Chu, D. and Gordon, R.G. (1998) Current plate motions across the Red Sea. *Geophys. J. Int.*, **135**, 313-328.
  16. DeMets, C., Gordon, R., Argus, D.F., and Stein, S. (1994) Effects of recent revisions to the geomagnetic time scale on estimates of current plate motion. *Geophys. Res. Lett.*, **21**, 2191-2194.
  17. Jackson, J.A., Haines, J., and Holt, W. (1995) The accommodation of Arabia-Eurasia Plate convergence in Iran. *J. Geophy. Res.*, **100**(B8), 15205-15219.
  18. Vernant, Ph., Nilforoushan, F., Hatzfeld, D., Abassi, M.R., Vigny,C., Masson, F., Nankali, H., Martinod, J., Ashtiani, A., Bayer, R., Tavakoli, F., and Chery, J. (2004) Present-day crustal deformation and plate kinematics in the Middle East constrained by GPS measurements in Iran and Northern Oman. *Geophys. J. Int.*, **157**, 381-398.
  19. Meyer, B., and Le Dortz, K. (2007) Strike-slip kinematics in Central and Eastern Iran: estimating fault slip-rates averaged over the Holocene. *Tectonics*, **26**(5), TC5009.
  20. Walker, R.T. and Khatib, M.M. (2006) Active faulting in the Birjand region of NE Iran. *Tectonics*, **25**, TC4016, doi: 10.1029/2005TC001871.
  21. Walker, R., Jackson, J., and Baker, C. (2003) Thrust faulting in eastern Iran: source parameters and surface deformation of the 1978 Tabas and 1968 Ferdows earthquake sequences. *Geophys. J. Int.*, **152**, 749-765.
  22. Ambraseys, N.N. and Tchalenko, J.S. (1969) The Dasht-e-Bayaz (Iran) earthquake of August 31, 1968: a field report. *Bull. Seismol. Soc. Am.*, **59**, 1751-179.
  23. Ambraseys, N.N. and Melville, C.P. (1982) *A History of Persian Earthquakes*. Cambridge system caused by the 1992 Magnitude = 7.4 Landers earthquake. *Science*, **258**, 1328-1332.
  5. Steacy, S., Gomberg, J., and Cocco, M. (2005) Introduction to special section: stress transfer, earthquake triggering and time-dependent seismic hazard. *J. Geophy. Res.*, **110**(B5), B05S01. doi: 10.1029/2005JB003692.
  6. Steacy, S., Marsan, D., Nalbant, S.S., and McCloskey, J. (2004) Sensitivity of Static Stress Calculations to the Earthquake Slip Distribution. *J. Geophy. Res.*, **109**(B4), B04303, doi: 10.1029/2002JB002365.
  7. McCloskey, J., Nalbant, S.S., and Steacy, S. (2005) Indonesian earthquake: Earthquake risk from co-seismic stress. *Nature*, **434**, 291.
  8. Sarkarinejad, Kh. and Ansari, Sh. (2014) The Coulomb stress change and sesimicity rate due to the 1990 Rudbar M 7.3 earthquake. *Bull. Seismol. Soc. Am.*, doi: 10.1785/0120130314.
  9. Papadimitriou, E. (2002) Mode of strong earthquake recurrence in the central Ionian Islands (Greece): Possible triggering due to Coulomb stress changes generated by the occurrence of previous strong shocks. *Bull. Seismol. Soc. Am.*, **92**(8), 3293-3308.
  10. Maleki Asayesh, B. and Hamzehloo, H. (2015) The Coulomb Stress Changes Due to Rigan Earthquakes and its Aftershocks. *Bulletin of Earthquake Science and Engineering*, **2**(2), 1-10 (in Persian).
  11. Sorkhvandi, S., Zafarian, H., and Ghalandarzadeh, A. (2015) Effect of Coulomb Stress Changes on Time-Dependent Model in East of Iran. *Bulletin of Earthquake Science and Engineering*, **2**(4), 1-10 (in Persian).
  12. Stein, R.S., Barka, A.A., and Dieterich, J.H. (1997) Progressive failure on the North Anatolian fault since 1939 by earthquake static stress triggering, *Geophys. J. Int.*, **128**, 594-604.
  13. Agard, P., Omrani, J., Jolivet, L., and Mouthereau, F. (2005) Convergence history across Zagros (Iran): constraints from collisional and earlier deformation,

- and Volcano Research and Teaching-User Guide. U.S. Geological Survey Open-File Report, 2011-1060.
34. Deng, J. and Sykes, L.R. (1997) Stress evolution in southern California and triggering of moderate-, small-, and micro size earthquakes. *J. Geophys. Res.*, **102**, 24411-24435.
35. Stein, R. (1999) The role of stress transfer in earthquake occurrence. *Nature*, **402**, 605-609
36. Toda, Sh. (2008) Coulomb stresses imparted by the 25 March 2007 Mw = 6.6 Noto-Hanto, Japan, earthquake explain its 'butterfly' distribution of aftershocks and suggest a heightened seismic hazard. *Earth, Planets and Space*, **60**, 1041-1046.
37. Harris, R. (1998) Introduction to special section: stress triggers, stress shadow, and implications for seismic hazard. *J. Geophys. Res.*, **103**, 24347-24358.
38. Ma, K.F., Chan, C.H., and Stein, R.S. (2005) Response of seismicity to Coulomb stress triggers and shadows of the 1999 Mw = 7.6 Chi-Chi, Taiwan earthquake. *J. Geophys. Res.*, **110**, B05S19. doi:10.1029/2004JB003389
39. Stein, R.S., Barka, A.A., and Dieterich, J.H. (1997) Progressive failure on the North Anatolian fault since 1939 by earthquake static stress triggering. *Geophys. J. Int.*, **128**, 594-604.
40. Walker, R.T., Bergman, E.A., Szeliga, W., and Fielding, E.J. (2011) Insights into the 1968-1997 Dasht-e-Bayaz and Zirkuh earthquake sequences, eastern Iran, from calibrated relocations, InSAR and high-resolution satellite imagery. *Geophys. J. Int.*, **187**, 1577-1603.
41. Leonard, M. (2010) Earthquake fault scaling: self-consistent relating of rupture length, width, average Displacement, and moment release. *Bull. Seismol. Soc. Am.*, **100**, 1971-1988.
42. Baker, C. (1993) *Active Seismicity and Tectonics of Iran*. Ph.D. Thesis, University of Cambridge, Cambridge.
43. Jackson, J. (2001) Living with earthquakes: know your faults. *J. Earthq. Eng.*, **5**(1), 5-123.
- University Press, Cambridge. Astronomical Soc., **77**, 185-264.
24. Berberian, M. and Yeats, R.S. (1999) Patterns of historical earthquake rupture in the Iranian Plateau. *Bull. Seismol. Soc. Am.*, **89**, 120-139.
25. Berberian, M. and Yeats, R.S. (2001) Contribution of archaeological data to studies of earthquake history in the Iranian Plateau. *J. Struct. Geol.*, **23**, 563-584.
26. Berberian, M., Jackson, J.A., Qorashi, M., Khatib, M.M., Priestly, K., Talebian, M., and Ghafori-Ashtiani, M. (1999) The 1997 May10 Zirkuh (Qaenat) earthquake (M 7.1): faulting along the Sistan suture zone of eastern Iran. *Geophys. J. Int.*, **136**, 671-694.
27. Walker, R.T., Bergman, E.A., Szeliga, W., and Fielding, E.J. (2011) Insights into the 1968-1997 Dasht-e-Bayaz and Zirkuh earthquake sequences, eastern Iran, from calibrated relocations, InSAR and high-resolution satellite imagery. *Geophys. J. Int.*, **187**, 1577-1603.
28. Tchalenko, J.S. and Berberian, M. (1975) Dasht-e Bayaz Fault, Iran: Earthquake and related structures in bedrock. *Geol. Soc. Am. Bull.*, **86**, 703-709
29. Haghipour, A. and Amidi, M. (1980) The November 14 to December 25, 1979 Ghaenat earthquakes of northeast Iran and their tectonic implications. *Bull. Seismol. Soc. Am.*, **70**(5), 1751-1757.
30. Khatib, M.M. and Walker, R. (2006) Paleoseismology evaluation of Dasht-e-bayaz fault using the morphotectonic evidence. *25<sup>th</sup> Symposium of Geoscience (GSI)*, Tehran.
31. Stein, R.S. (2003) Earthquake Conversations. *Scientific American*, **288**, 72-79.
32. Okada, Y. (1992) Internal deformation due to shear and tensile faults in a half-space, *Bull. Seismol. Soc. Am.*, **82**, 1018-1040.
33. Toda, S., Stein, R.S., Sevilgen, V., and Lin, J. (2011) *Coulomb 3.3 Graphic Rich Deformation and Stress-Change Software for Earthquake, Tectonic,*

54. Heidbach, O., Fuchs, K., Müller, B., Reinecker, J., Sperner, B., Tingay, M., and Wenzel, F. (2007) World stress map, WSM Release 2005, <http://www.world-stress-map.org>.
55. Masson, F., Chery, J., Hatzfeld, D., Martinod, Vernant, P., Tavakoli, F. and GhaforyAshtiani, M. (2005) Seismic versus aseismic deformation in Iran inferred from earthquakes and geodetic data. *Geophys. J. Int.*, **160**, 217-226.
56. Zarifi, Z., Nilfouroushan, F., and Raeesi, M. (2013) Crustal stress map of Iran: insight from seismic and geodetics computations. *Pure and Applied Geophysics*, **171**, 1219-1236.
57. Bayer, C.K., Heuckroth, L.E., and Karim, R.I. (1969) An investigation of the Dasht-e Bayaz, Iran earthquake. *Bull. Seismol. Soc. Am.*, **59**, 1793-1822.

#### واژه‌نامه

|                            |                             |
|----------------------------|-----------------------------|
| Sympathetic                | ۱- هم‌درد                   |
| Stress Triggering          | ۲- برانگیختگی تنش           |
| Incipient                  | ۳- نوپدید                   |
| Dislocation                | ۴- جابه‌جاشی                |
| Elastic Half-Space         | ۵- نیم فضای الاستیکی        |
| Formulas Closed Analytical | ۶- فرمول‌های تجزیه‌ای بسته  |
| Critical Envelope          | ۷- پوش بحرانی               |
| Mature Faults              | ۸- گسل‌های بالغ             |
| Skempton Coefficient       | ۹- ضریب اسکمپتون            |
| Bulk Moduli                | ۱۰- مدول بالک               |
| Segment                    | ۱۱- قطعه                    |
| Hydrofracturing            | ۱۲- آب‌شکافت                |
| Borehole Breakout          | ۱۳- شکستگی گمانه            |
| Fault Striae Inversions    | ۱۴- وارونه‌سازی خش‌های گسلی |

44. Wald, D.J. and Heaton, T.H. (1994) Spatial and temporal distribution of slip for 1992 Landers, California earthquake. *Bull. Seismol. Soc. Am.*, **84**, 668-691.
45. Ambraseys, N.N. and Tchalenko, J.S. (1968) Dasht-e-Bayaz, Iran, Earthquake of 31 August 1968. *Nature*, **220**, 903-905.
46. Niazi, M. (1968) Fault rupture in the Iranian (Dasht-e Bayaz) earthquake of August, 1968. *Nature*, **220**, 569-570.
47. Wells, D.L. and Coppersmith, K.J. (1994) New empirical relationships among magnitude, rupture length, rupture width, rupture area, and surface displacement. *Bull. Seismol. Soc. Am.*, **84**, 974-1002.
48. Berberian, M. (1976) *Contribution to the Seismotectonics of Iran (Part II)*. Report No 39, Geological Survey of Iran.
49. Das, S. and Henry, C. (2003) Spatial relation between main earthquake slip and its aftershock distribution. *Reviews of Geophysics*, **41**, doi: 10.1029/2002RG000119.
50. Toda, S.R.S., Stein, P.A., Reasenberg, J.H., Dieterich, and Yoshida, A. (1998) Stress transferred by the 1995  $M_w = 6.9$  Kobe, Japan, shock: Effect on aftershocks and future earthquake probabilities. *J. Geophys. Res.*, **103**, 24543-24565.
51. Kilb, D., Gomberg, J., and Bodin, P. (2002) Aftershock triggering by complete Coulomb stress changes. *J. Geophys. Res.*, **107**, 1-14.
52. Utkucu, M., Durmus, H., Yalcin, H., Budakoglu, E., and Isik, E. (2013) Coulomb static stress changes before and after the 23 October 2011 Van, eastern Turkey, earthquake ( $MW = 7.1$ ): implications for the earthquake hazard mitigation. *Nat. Hazards Earth. Sys. Sci.*, **13**, 1889-1902.
53. Yadav, R.B.S., Gahalaut, V.K., Chopra, S., and Shan, B. (2012) Tectonic implications and seismicity triggering during the 2008 Baluchistan, Pakistan earthquake sequence. *J. Asian Earth. Sci.*, **45**, 167-178.